

УДК 531.391.1:532.5.011+66.063.8

## ДВИЖЕНИЕ НЕПРЯМОЛИНЕЙНОЙ НИТИ В ПОТОКЕ ВЯЗКОЙ ЖИДКОСТИ

В. М. Шаповалов, С. В. Лапшина

Волжский политехнический институт Волгоградского государственного  
технического университета, 404121 Волжский

Методом малого параметра решена плоская задача динамического взаимодействия ламинарного потока вязкой жидкости и гибкой нерастяжимой нити конечной длины. Рассмотрены два типа реологических двумерных течений: чистый сдвиг и простой сдвиг. Получены выражения для эволюции растягивающего усилия и формы нити. Сопоставлены результаты асимптотического и численного расчетов.

В перерабатывающем оборудовании (валки, резиносмесители) величина деформации наполненной системы конечна, поскольку время перемешивания ограничено [1–4]. Поэтому исходная конфигурация нити оказывает существенное влияние на ее ориентацию в конце технологической операции.

Волокнистый наполнитель существенно изменяет реологические свойства жидкости. Например, вязкая жидкость, наполненная волокнами, проявляет аномальные свойства: резко возрастает вязкость в области низких скоростей и напряжений сдвига. Этот эффект усиливается по мере увеличения длины, концентрации и гибкости волокна [5].

В работе [6] поставлена задача о движении гибкой нити конечной длины в потоке вязкой жидкости. Для нити прямолинейной формы получено аналитическое решение задачи.

Целью настоящей работы является изучение влияния начальной изогнутости нити на скорость эволюции формы и натяжения.

**1. Исходные уравнения.** Приняты следующие допущения. Силы тяжести и инерции малы. Нить изолирована, т. е. отсутствует ее механический контакт с другими нитями. Нить не вносит изменений в поле скоростей жидкости. Течение ламинарное, изотермическое. Ось нити остается плоской кривой, и выполняется условие  $\max(d/l, kd) \ll 1$  ( $d$  — диаметр нити,  $2l$  — ее длина,  $k$  — кривизна). Со стороны жидкости на нить действует сила трения, пропорциональная относительной скорости обтекания.

Введем следующие безразмерные переменные и параметры:

$$\begin{aligned} \tau = t|\dot{\gamma}g_1 + (1 - g_1)\dot{\gamma}_-|, \quad \{X, X_0, Y, Y_0, S\} = \{x, x_0, y, y_0, s\}l^{-1}, \\ N = N_+/(A_\tau l^2|\dot{\gamma}g_1 + (1 - g_1)\dot{\gamma}_-|), \quad E = A_\tau/A_n. \end{aligned} \quad (1.1)$$

Здесь  $t$  — время;  $\dot{\gamma}$  — скорость деформации чистого сдвига;  $\dot{\gamma}_-$  — скорость сдвига;  $g_1$  — параметр, характеризующий тип течения ( $g_1 = 1$  соответствует чистому сдвигу,  $g_1 = 0$  — простому сдвигу);  $x(s), y(s)$  — уравнение оси нити в параметрической форме;  $s$  — координата, отсчитываемая вдоль оси нити;  $x_0(s), y_0(s)$  — функции, описывающие исходную конфигурацию оси нити;  $A_n = 4\pi\mu/\ln(7,4/\text{Re})$ ;  $\text{Re} = \langle v \rangle \rho d/\mu$  — число Рейнольдса;  $\mu, \rho$  — вязкость и плотность жидкости;  $\langle v \rangle \approx |\dot{\gamma}g_1 + (1 - g_1)\dot{\gamma}_-|l$  — характерная скорость;  $A_\tau = 2,1\pi\mu\sqrt{\langle c \rangle}/\ln(0,952/\sqrt{\langle c \rangle})$ ;  $\langle c \rangle$  — объемная доля нитей в жидкости;  $N_+$  — натяжение нити.

Условие равновесия гибкой нити записывается в векторной форме

$$(N\mathbf{l})_s = -\mathbf{l}((\mathbf{v} - \mathbf{r}_\tau)\mathbf{l}) - \mathbf{n}((\mathbf{v} - \mathbf{r}_\tau)\mathbf{n})/E,$$

где  $\mathbf{r}$  — радиус-вектор;  $\mathbf{l} = \mathbf{r}_s$ ;  $|\mathbf{l}| = 1$  — единичный вектор, направленный по касательной к “упругой линии” нити;  $\mathbf{r}_{ss} = -\varphi_s \mathbf{n}$ ;  $\mathbf{n} = [\mathbf{l}\mathbf{k}]$  — единичный вектор главной нормали;  $\mathbf{k}$  — единичный вектор, параллельный оси  $z$ ;  $\mathbf{v}$  — скорость жидкости;  $\mathbf{r}_\tau = d\mathbf{r}/d\tau$  — скорость нити. Разрешая это уравнение относительно  $\mathbf{r}_\tau$ , находим

$$\mathbf{r}_\tau = \mathbf{v} + N_s \mathbf{l} - EN\varphi_s \mathbf{n}.$$

Дифференцируя это уравнение по  $s$ , с учетом  $\mathbf{n}_s = \varphi_s \mathbf{l}$ ,  $\mathbf{l}_\tau = \varphi_\tau \mathbf{n}$  получаем

$$-\varphi_\tau \mathbf{n} = -(N_{ss} - EN\varphi_s^2)\mathbf{l} - (EN\varphi_{ss} + (1+E)N_s\varphi_s)\mathbf{n} + (\mathbf{l}\nabla)\mathbf{v}.$$

Запишем уравнения рассматриваемой задачи в скалярной форме

$$EN \frac{\partial^2 \varphi}{\partial S^2} + (1+E) \frac{\partial N}{\partial S} \frac{\partial \varphi}{\partial S} - \frac{\partial \varphi}{\partial \tau} = g[g_1 \sin 2\varphi + (1-g_1) \sin^2 \varphi],$$

$$\frac{\partial^2 N}{\partial S^2} - E \left( \frac{\partial \varphi}{\partial S} \right)^2 N = -g[g_1 \cos 2\varphi + 0,5(1-g_1) \sin 2\varphi], \quad (1.2)$$

$$\tau = 0: \quad \varphi = \varphi^*(S), \quad N = 0,$$

$$\tau > 0: \quad S = 0, \quad \frac{\partial \varphi}{\partial S} = \frac{\partial N}{\partial S} = 0, \quad S = 1, \quad \frac{\partial \varphi}{\partial S} = N = 0.$$

Здесь  $\varphi$  — угол между касательной к оси нити и осью  $X$ ;  $\varphi^*(S)$  — угол наклона оси нити в начальный момент;  $g$  — параметр, характеризующий направление течения ( $g = \text{sign } \dot{\gamma}$  для чистого сдвига,  $g = \text{sign } \dot{\gamma}_-$  для простого сдвига). Следует отметить, что при простом сдвиге поле скоростей характеризуется компонентами  $v_x = g|\dot{\gamma}|y$ ,  $v_y = 0$ , при чистом сдвиге —  $v_x = g|\dot{\gamma}|x$ ,  $v_y = -g|\dot{\gamma}|y$ .

Граничные условия в (1.2) записаны для центрально-симметричной исходной конфигурации нити. Середина нити находится в начале координат, и выполняются соотношения  $X(S) = -X(-S)$ ,  $Y(S) = -Y(-S)$ . Точка  $S = 0$  является точкой перегиба оси нити, в которой  $\partial\varphi/\partial S = 0$ . При этом для симметричных полей скорости жидкости середина нити в процессе ее деформации всегда будет находиться в начале координат (снят конвективный снос нити). Поэтому достаточно рассмотреть движение правой половины нити ( $0 \leq S \leq 1$ ). Расчетная схема и оси координат представлены на рис. 1.

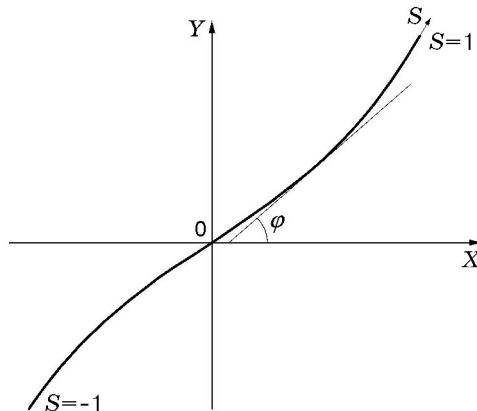


Рис. 1

Согласно (1.1) вязкость жидкости определяет натяжение, но не влияет на эволюцию формы. При прочих равных условиях натяжение нити пропорционально вязкости, скорости деформации и квадрату длины нити, что согласуется с опытными данными. При изготовлении резиноволокнистых композиций наблюдалось усиление диспергирования наполнителя с повышением вязкости среды [1, 2], скорости деформации [3], а также начальной длины волокна [4].

Таким образом, при исследовании задачи можно ограничиться уравнениями (1.2). Функции  $X$  и  $Y$  находятся путем интегрирования уравнений

$$\begin{aligned} \frac{\partial X}{\partial S} &= \cos \varphi, & \frac{\partial Y}{\partial S} &= \sin \varphi, \\ S &= 0, & X &= 0, & Y &= 0. \end{aligned} \quad (1.3)$$

**2. Асимптотическое исследование.** Пусть начальная конфигурация нити описывается функцией  $\varphi^* = \varphi_+ + \varepsilon S$  ( $\varphi_+$ ,  $\varepsilon$  — постоянные).

Полагая в начальном условии (1.2)  $|\varepsilon| \ll 1$ , используем для анализа задачи метод малого параметра [7]. Ищем решение в виде прямых разложений по степеням малого параметра

$$\varphi = \varphi_0(\tau) + \varepsilon \varphi_1(S, \tau) + \dots, \quad N = N_0(S, \tau) + \varepsilon N_1(S, \tau) + \dots \quad (2.1)$$

Первые члены разложения  $\varphi_0$ ,  $N_0$  описывают эволюцию прямолинейной нити. Принято  $\varphi_0 = \varphi_0(\tau)$ , поскольку численный анализ задачи (1.2) показал, что прямолинейная нить в процессе эволюции сохраняет свою форму [6].

Подставляя разложения (2.1) в уравнения и граничные условия (1.2) и приравнивая члены одного порядка малости по  $\varepsilon$ , получим задачи:

— для порядка  $\varepsilon^0$

$$\begin{aligned} \frac{d\varphi_0}{d\tau} &= -g[g_1 \sin 2\varphi_0 + (1 - g_1) \sin^2 \varphi_0], \\ \frac{\partial^2 N_0}{\partial S^2} &= -g[g_1 \cos 2\varphi_0 + 0,5(1 - g_1) \sin 2\varphi_0], \end{aligned} \quad (2.2)$$

$$\tau = 0: \quad \varphi_0 = \varphi_+, \quad N_0 = 0,$$

$$\tau > 0: \quad S = 0, \quad \frac{\partial \varphi_0}{\partial S} = \frac{\partial N_0}{\partial S} = 0, \quad S = 1, \quad \frac{\partial \varphi_0}{\partial S} = N_0 = 0;$$

— для порядка  $\varepsilon^1$

$$\begin{aligned} EN_0 \frac{\partial^2 \varphi_1}{\partial S^2} + (1 + E) \frac{\partial N_0}{\partial S} \frac{\partial \varphi_1}{\partial S} - \frac{\partial \varphi_1}{\partial \tau} &= 2g\varphi_1[g_1 \cos 2\varphi_0 + 0,5(1 - g_1) \sin 2\varphi_0], \\ \frac{\partial^2 N_1}{\partial S^2} - EN_0 \frac{\partial \varphi_1}{\partial S} &= 2g\varphi_1[g_1 \sin 2\varphi_0 - 0,5(1 - g_1) \cos 2\varphi_0], \end{aligned} \quad (2.3)$$

$$\tau = 0: \quad \varphi_1 = S, \quad N_1 = 0,$$

$$\tau > 0: \quad S = 0, \quad \frac{\partial \varphi_1}{\partial S} = \frac{\partial N_1}{\partial S} = 0, \quad S = 1, \quad \frac{\partial \varphi_1}{\partial S} = N_1 = 0.$$

Решение задачи (2.2) имеет вид:

— в случае чистого сдвига ( $g_1 = 1$ )

$$\varphi_0 = \arctg [\operatorname{tg} \varphi_+ \exp(-2g\tau)], \quad N_0 = 0,5g(1 - S^2) \cos 2\varphi_0; \quad (2.4)$$

— в случае простого сдвига ( $g_1 = 0$ )

$$\varphi_0 = \arctg [\operatorname{tg} \varphi_+ / (1 + g\tau \operatorname{tg} \varphi_+)], \quad g \operatorname{tg} \varphi_+ > 0, \quad N_0 = 0,25g(1 - S^2) \sin 2\varphi_0. \quad (2.5)$$

Решение первого уравнения в (2.3) будем искать в виде произведения функций

$$\varphi_1 = f(\tau)\psi(S), \quad (2.6)$$

которое является решением системы уравнений

$$0,5E(1 - S^2) \frac{d^2\psi}{dS^2} - (1 + E)S \frac{d\psi}{dS} - (2 + C)\psi = 0; \quad (2.7)$$

$$\frac{1}{f} \frac{df}{d\tau} = Cg[g_1 \cos 2\varphi_0 + 0,5(1 - g_1) \sin 2\varphi_0], \quad (2.8)$$

где  $C$  — постоянная.

Решение уравнения (2.7) имеет вид

$$\psi = C_1 S + C_2 S \int_0^S S^{-2} (1 - S^2)^{-(1+E)/E} dS,$$

где  $C_1, C_2$  — постоянные. Последний интеграл при произвольном значении  $E$  через элементарные функции не выражается. Для удовлетворения начальному условию (2.3) необходимо положить  $C_1 = 1, C_2 = 0, C = -(E + 3)$ .

В случае чистого сдвига ( $g_1 = 1$ ) уравнение (2.8) с учетом выражения  $d\varphi_0/d\tau$  из первого уравнения в (2.2) можно представить в виде

$$df/f = (E + 3) \operatorname{ctg} 2\varphi_0 d\varphi_0.$$

Выполнив интегрирование, получим

$$f = (\sin 2\varphi_0 / \sin 2\varphi_+)^{(E+3)/2}. \quad (2.9)$$

Здесь использовано начальное условие  $\tau = 0, \varphi_0 = \varphi_+, f = 1$ .

Аналогично находится решение уравнения (2.8) для простого сдвига ( $g_1 = 0$ ):

$$f = (\sin \varphi_0 / \sin \varphi_+)^{E+3}. \quad (2.10)$$

Решение второго уравнения в (2.3) с учетом (2.4)–(2.6), (2.9), (2.10) не представляет трудностей: путем двукратного интегрирования получаем выражение для  $N_1$ .

Таким образом, для чистого сдвига с точностью до членов  $O(\varepsilon^2)$ , имеем решение

$$\begin{aligned} \varphi &= \varphi_0 + \varepsilon S (\sin 2\varphi_0 / \sin 2\varphi_+)^{(E+3)/2}, \\ N &= 0,5(1 - S^2)g \cos 2\varphi_0 + (\varepsilon g/24) (\sin 2\varphi_0 / \sin 2\varphi_+)^{(E+3)/2} \times \\ &\quad \times [E(6S^2 - S^4 - 5) \cos 2\varphi_0 - 8(1 - S^3) \sin 2\varphi_0], \end{aligned} \quad (2.11)$$

где функция  $\varphi_0(\tau)$  определена в (2.4).

Для простого сдвига соответствующие выражения имеют вид

$$\begin{aligned} \varphi &= \varphi_0 + \varepsilon S (\sin \varphi_0 / \sin \varphi_+)^{E+3}, \\ N &= 0,25g(1 - S^2) \sin 2\varphi_0 + (\varepsilon g/48) (\sin \varphi_0 / \sin \varphi_+)^{E+3} \times \\ &\quad \times [E(6S^2 - S^4 - 5) \sin 2\varphi_0 + 8(1 - S^3) \cos 2\varphi_0], \end{aligned} \quad (2.12)$$

где функция  $\varphi_0(\tau)$  определена в (2.5).

Разложения (2.11), (2.12) не содержат секулярных членов, что подтверждает правомерность выражений (2.1) и используемого метода анализа.

Интегрируя уравнения (1.3) с учетом (2.11), (2.12), получим выражения для функций  $X$  и  $Y$

$$X = [\sin(\varphi_0 + \varepsilon\alpha S) - \sin\varphi_0]/(\varepsilon\alpha), \quad Y = [\cos\varphi_0 - \cos(\varphi_0 + \varepsilon\alpha S)]/(\varepsilon\alpha), \quad (2.13)$$

где  $\alpha = g_1(\sin 2\varphi_0/\sin 2\varphi_+)^{(E+3)/2} + (1 - g_1)(\sin\varphi_0/\sin\varphi_+)^{E+3}$ ; функция  $\varphi_0(\tau)$  определена в (2.4), (2.5).

Рассматривается идеально гибкая нить, способная передавать только растягивающие усилия, поэтому полученное решение правомерно только для областей устойчивых движений нити (см. [6]).

В процессе эволюции вторые слагаемые в (2.11), (2.12) достаточно быстро убывают, и нить приобретает прямолинейную форму с параболическим распределением натяжения по длине. При этом параметр  $E$ , определяющий силу трения, влияет на скорость убывания слагаемого порядка  $\varepsilon$ , но не влияет на эволюцию прямолинейной нити. Таким образом, асимптотический анализ подтверждает гипотезу о двух периодах эволюции нити, предложенную в работе [6].

Следует отметить, что параметр  $E$  зависит от объемной доли волокнистого наполнителя, следовательно, его изменение в технологическом процессе оказывает влияние на степень ориентации волокон.

В условиях чистого сдвига первоначально прямолинейная нить, сохраняя свою форму, совершает поворот вокруг точки  $X = Y = 0$  по направлению течения. График зависимости натяжения от координаты  $S$  является параболой с вершиной в точке  $S = 0$ . При  $\tau \rightarrow \infty$  и  $g = 1$  ось нити совпадает с осью  $X$ , при  $g = -1$  — с осью  $Y$ . В этом случае натяжение максимально и описывается зависимостью  $N = 0,5(1 - S^2)$ . “Эффективная продольная вязкость” системы, наполненной ориентированными в направлении растяжения волокнами, максимальна. При ориентации волокон  $\varphi_0 = \pi/4$  их натяжение нулевое, а эффективная вязкость системы близка к вязкости жидкости.

В случае простого сдвига характер распределения натяжения  $N(S)$  существенно изменяется. При ориентации волокон  $\varphi_0 = g\pi/4$  натяжение нити максимально и описывается функцией  $N = 0,25(1 - S^2)$ . Сдвиговая вязкость наполненной системы максимальна. В состоянии равновесия ( $\tau \rightarrow \infty$ ) ось нити совпадает с осью  $X$ , натяжение нулевое ( $N = 0$ ). Сдвиговая вязкость наполненной системы близка к вязкости жидкости (в первом приближении зависимость вязкости от объемной доли волокон описывается формулой Эйнштейна).

**3. Численный анализ.** Система уравнений (1.2), (1.3) решалась численно с помощью неявной конечно-разностной схемы Кранка — Николсона. Функции  $N$  и  $\varphi$  на верхнем временном слое находились методом трехточечной прогонки и уточнялись итерациями. Здесь из уравнений (1.3) находились функции  $X$  и  $Y$ .

Схема сохраняла устойчивость даже при наличии в нити сжимающих усилий. При этом на участке сжатия нить принимала пилообразную форму с периодом, приблизительно равным двум шагам по  $S$ .

В качестве теста использовалось точное решение задачи для прямолинейной нити (2.4), (2.5). Анализ выполнен для системы поликапроамидные волокна — резиновая матрица ( $d = 30$  мкм,  $2l = 10^{-2}$  м,  $|\dot{\gamma}| = |\dot{\gamma}_-| = 18$  с $^{-1}$ ,  $\mu = 10^5$  Па·с,  $\rho = 1200$  кг/м $^3$ ,  $\langle c \rangle = 0,05$ ,  $\langle v \rangle = |\dot{\gamma}|l$ ,  $\text{Re} = 3,24 \cdot 10^{-8}$ ,  $E = 1,56$ ). Параметры начальной конфигурации нити  $\varphi_0 = 0,6$ ,  $\varepsilon = 0,5$ . Шаг по координате  $S$  составлял 0,025, по времени — 0,001.

Результаты численного решения в безразмерном виде представлены сплошными линиями на рис. 2 (результаты асимптотического решения показаны штриховыми линиями). Рис. 2,а соответствует чистому сдвигу, рис. 2,б — простому. Кривые 1–7 соответствуют значениям  $\tau = 0; 0,1; 0,2; 0,4; 0,8; 1,6; 3,2$ . Видно, что в случае деформации чистого

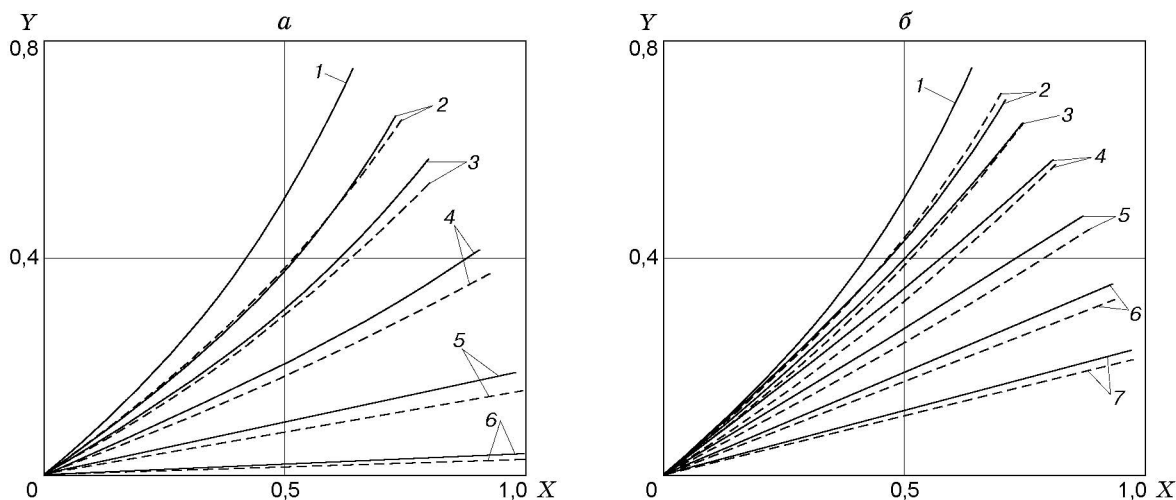


Рис. 2

сдвига поворот нити в направлении течения совершается с большей скоростью. Поэтому наличие в течении деформации растяжения ускоряет процесс ориентации волокнистого наполнителя.

Асимптотическое решение получено в предположении  $|\varepsilon| \ll 1$ . Из сопоставления этого решения с численным следует, что даже при  $\varepsilon = 0,5$  асимптотическое решение (2.11)–(2.13) достаточно точно описывает эволюцию нити (различие не более 12 %).

#### ЛИТЕРАТУРА

1. Дзюра Е. А., Серебро А. Л. Исследование прочностных свойств резин, наполненных короткими волокнами // Каучук и резина. 1978. № 7. С. 32–34.
2. Несиоловская Т. Н., Соловьев Е. М. Диспергирование полиамидного волокна в процессе приготовления РВК // Каучук и резина. 1990. № 8. С. 17–19.
3. Несиоловская Т. Н., Соловьев Е. М., Дурсов С. М., Толобов С. В. Способ получения коротковолокнистых наполнителей с улучшенным комплексом свойств // Каучук и резина. 1988. № 2. С. 22–24.
4. Несиоловская Т. Н., Соловьев Е. М. Влияние длины синтетического волокна на деформационно-прочностные свойства РВК // Каучук и резина. 1989. № 7. С. 31, 32.
5. Малкин А. Я., Эппле Г. В., Грицук А. И. Влияние волокнистого наполнителя на вязкостные свойства среды // Коллоид. журн. 1972. Т. 34, № 4. С. 550–554.
6. Шаповалов В. М. Движение гибкой нити конечной длины в потоке вязкой жидкости // ПМТФ. 2000. Т. 41, № 2. С. 144–153.
7. Найфэ А. Введение в методы возмущений. М.: Мир, 1984.

*Поступила в редакцию 17/X 2000 г.,  
в окончательном варианте — 3/X 2001 г.*